

**ВЛИЯНИЕ МАГНИТНОГО ПОЛЯ
НА ЦИРКУЛЯРНЫЙ ФОТОВОЛЬТАИЧЕСКИЙ ТОК
В МОНОКРИСТАЛЛАХ ГЕРМАНОСИЛЛЕНИТА**

В.М.Фридкин, В.Г.Лазарев, А.Л.Шленский

Впервые наблюдалось влияние магнитного поля на циркулярный объемный фотовольтаический эффект (ОФЭ). Полученные результаты подтверждают сделанное ранее предположение о том, что при термализации носителей может иметь место переход от зонной проводимости к прыжковой.

Равномерное освещение однородных кристаллов без центра симметрии в магнитном поле генерирует стационарный магнитофотовольтаический ток, $J_i^{B_j}$

$$J_i^{B_j} = S_{ij\ kl} B_j E_k E_l^* + Q_{ijk} B_j i (\mathbf{E} \times \mathbf{E}^*)_k. \quad (1)$$

Здесь E_k , E_l – компоненты вектора поляризации света, B_j – магнитное поле, $i(\mathbf{E} \times \mathbf{E}^*)$ определяет степень циркулярной поляризации света σ согласно соотношению

$$i(\mathbf{E} \times \mathbf{E}^*) = \sigma \frac{\mathbf{q}}{|\mathbf{q}|} I, \quad (2)$$

\mathbf{q} – волновой вектор фотона. Первый член в правой части (1) описывает магнитофотовольтаический эффект (МФВЭ) для линейно поляризованного света (линейный МФВЭ), второй член – МФВЭ для циркулярно поляризованного света (циркулярный МФВЭ). МФВЭ может быть получен из объемного фотовольтаического эффекта (ОФЭ)^{2,3} путем разложения

объемного фотовольтаического тока J_z по магнитному полю. Микроскопический механизм МФВЭ связан как с холловской компонентой баллистического фотовольтаического тока, так и с магнитоиндуцированной асимметрией фотовозбуждения носителей^{4, 5}.

Линейный МФВЭ был экспериментально обнаружен для $\text{LiNbO}_3 : \text{Fe}$ и ZnS в⁶⁻⁸. В настоящей работе мы сообщаем о циркулярном МФВЭ в монокристаллах пьезоэлектрика $\text{Bi}_{12}\text{GeO}_{20}$. Циркулярный ОФЭ в $\text{Bi}_{12}\text{GeO}_{20}$ ранее наблюдался в⁹. Для наблюдения циркулярного МФВЭ нами использовалась модуляционная методика измерения фотовольтаического тока^{9, 10} и его холловской компоненты в магнитном поле $B_y \lesssim 1 \text{ T}$.

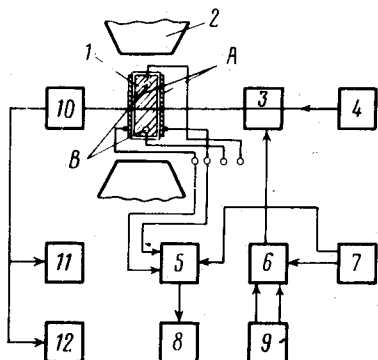


Рис. 1

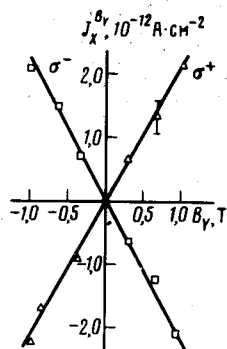


Рис. 2

Рис. 1. Схема измерений: 1 – кристалл с полупрозрачными (A) и холловскими (B) контактами, 2 – электромагнит, 3 – электрооптический модулятор, 4 – лазер $\text{He} - \text{Cd}$, 5 –синхронный нановольтметр, 6 – коммутатор, 7 – генератор опорного сигнала, 8 – самопищущий потенциометр, 9 – источник постоянного напряжения, 10 – фотоприемник, 11 –селективный усилитель, 12 –усилитель постоянного тока

Рис. 2. Зависимость $J_x^B_y$ от напряженности магнитного поля B_y для разного знака циркулярной поляризации света

Исследовались монокристаллические пластинки с размерами $6,3 \times 5,7 \times 1,7 \text{ mm}^3$ вдоль x , y и z , совпадающих с направлениями $\langle 100 \rangle$. Для измерения циркулярного фотовольтаического тока J_z на грани (001) напылялись полупрозрачные никелевые электроды A , а для измерения его холловской компоненты $J_x^B_y$ использовались электроды B (рис. 1). Кристалл освещался $\text{He} - \text{Cd}$ лазером 4 ($\lambda = 440 \text{ нм}, I = 3,6 \cdot 10^{-3} \text{ Вт}$) через электрооптический модулятор 3, разность хода которого изменялась под действием напряжения, имеющего форму меандра с частотой 19,3 Гц и амплитудой, равной полуволновому напряжению. Одновременно через коммутатор 6 на модулятор 3 подавалось постоянное напряжение от источника 9, смещающее рабочую точку модулятора таким образом, что положительные и отрицательные полупериоды меандра соответствовали положительной σ^+ и отрицательной σ^- циркулярной поляризации света или линейной поляризации света с взаимно перпендикулярным направлением вектора поляризации E . Изменением напряжения смещения достигалось изменение знака циркулярной поляризации относительно опорного напряжения генератора 7. Использованная нами импульсная модуляция облегчает разделение циркулярного и линейного эффектов и уменьшает влияние паразитной амплитудной модуляции света. Поляризация света исследовалась фотоприемником с анализатором 10. Глубина паразитной модуляции интенсивности не превышала 0,1 %. Токи J_z и $J_x^B_y$ измерялись синхронным нановольтметром типа "Unipan 232 В" с входным импедансом 50 МОм.

В соответствии с точечной группой симметрии кристалла 23 выражения для циркулярного фото-вольтаического тока J_z и его холловской компоненты J_x^{By} имеют вид

$$J_z = I \gamma_{zz} \sigma, \quad (3)$$

$$J_x^{By} = IB_y Q_{xyz} \sigma, \quad (4)$$

где γ_{zz} и Q_{xyz} – единственные отличные от нуля компоненты тензора циркулярного ОФЭ и циркулярного МФВЭ, I – интенсивность света. Полученное нами значение $\gamma_{zz} \approx 3 \cdot 10^{-10} \text{ А} \cdot \text{см} \cdot (\text{Вт})^{-1}$ (для коэффициента поглощения $\alpha^* \approx 14 \text{ см}^{-1}$) удовлетворительно согласуется с ⁹. Результаты измерения J_x^{By} представлены на рис. 2 и сводятся к следующему. В соответствии с (4) знак холловского тока J_x^{By} изменяется с изменением знака циркулярной поляризации света σ и магнитного поля B_y . Холловский ток линейно зависит от B_y в интервале $B_y \leq 1 \text{ Т}$. Нетермализованными носителями являются электроны. Согласно ⁶⁻⁸ из (3) и (4) была определена подвижность нетермализованных электронов

μ_H

$$\mu_H = \frac{1}{B} \frac{J_x^{By}}{J_z} = \frac{Q_{xyz}}{\gamma_{zz}}. \quad (5)$$

Подставляя в (5) $J_z \approx 1,5 \cdot 10^{-11} \text{ А} \cdot \text{см}^{-2}$ и значения J_x^{By} из рис. 2, имеем $\mu_H \approx 1400 \pm 200 \text{ см}^2 \cdot \text{В}^{-1} \cdot \text{с}^{-1}$. Согласно ^{11, 12} в $\text{Bi}_{12}\text{GeO}_{20}$ термализованная подвижность электронов, определенная по методу пролетного времени, сильно зависит от заполнения ловушек и изменяется в пределах $\mu_t \approx 10^{-6} \div 10^{-2} \text{ см}^2 \cdot \text{В}^{-1} \cdot \text{с}^{-1}$. Столь низкие значения μ_t связаны с надежно установленным в этих кристаллах прыжковым механизмом проводимости. Таким образом, при термализации электронов в $\text{Bi}_{12}\text{GeO}_{20}$ их подвижность уменьшается более чем на пять порядков, что подтверждает сделанное в ¹³ предположение о том, что при термализации носителей имеет место переход зонного механизма проводимости в прыжковый.

Литература

1. Ивченко Е.Л., Пикус Г.Е. Сб.: Проблемы совр. физики, М.: Наука, 1980, с. 275.
2. Фридкин В.М., Попов Б.Н. УФН, 1978, **126**, 657.
3. Белиничер В.И., Стурман Б.И. УФН, 1980, **23**, 199.
4. Ивченко Е.Л., Лянда-Геллер Ю.Б., Пикус Г.Е., Расулов Р.Я. ФТП, 1984, **18**, 93.
5. Ивченко Е.Л., Пикус Г.Е., Расулов Р.Я. ФТТ, 1984, **26**, 3362.
6. Фридкин В.М., Попов Б.Н. Докл. АН СССР, 1980, **256**, 63.
7. Леванюк А.П., Погосян А.Р., Уюкин Е.М. Докл. АН СССР, 1980, **256**, 60.
8. Фридкин В.М., Лазарев В.Г., Левин Ю.Э., Родин А.И. Письма в ЖЭТФ, 1983, **38**, 159.
9. Петров М.П., Грачев А.И. ФТТ, 1980, **22**, 1671.
10. Esayan S.K., Lemanov V.V., Maksimov A.Y. Ferroelectric Lett., 1984, **2**, 93.
11. Lenzo R.V. J. Appl. Phys., 1972, **43**, 1107.
12. Костюк В.Х., Кудзин А.Ю., Соколянский Г.Х. ФТТ, 1980, **22**, 2454.
13. Малиновский В.К., Стурман Б.И. ФТТ, 1980, **22**, 3678.